

Санкт-Петербургский государственный университет

ЮГАЙ Александр Германович

**Выпускная квалификационная работа
Эргодические свойства процессов кристаллизации**

Уровень образования: бакалавриат

Направление: 01.03.01 «Математика»

Основная образовательная программа: СВ.5000.2021 «Математика»

Научный руководитель:
Профессор Факультета Математики
и компьютерных наук,
доктор физико-математических наук,
Давыдов Юрий Александрович

Рецензент: Ведущий научный сотрудник,
Санкт-Петербургское отделение
Математического института имени
В. А. Стеклова РАН,
доктор физико-математических наук,
Бородин Андрей Николаевич

Санкт-Петербург
2025

СОДЕРЖАНИЕ

Краткий обзор	3
1. Введение	3
2. Предположения о процессах рождения и роста	3
2.1. Процесс рождения	3
2.2. Процесс роста	4
3. Абсолютная регулярность	4
4. Нижняя оценка для одномерного случая	5
5. Верхние оценки для плоского случая	6
6. Доказательство теоремы 2	9
7. Доказательство теоремы 3	15
Список литературы	18

КРАТКИЙ ОБЗОР

В работе исследуются оценки коэффициента абсолютной регулярности для процессов кристаллизации, введённых Колмогоровым [2]. Улучшена нижняя оценка [1], а также обобщены верхние оценки для плоского случая.

1. ВВЕДЕНИЕ

Процесс кристаллизации, который мы рассматриваем здесь, имеет дело с центрами кристаллизации $g = (x_g, t_g)$, которые появляются в случайные моменты времени t_g в случайном месте x_g . Процесс рождения \mathcal{N} - это точечный процесс Пуассона на $\mathbb{R}^d \times \mathbb{R}^+$ с мерой интенсивности, обозначаемой Λ . Как только появляются центры кристаллизации, кристаллы начинают расти, если их местоположение еще не занято другим кристаллом, и когда два кристалла встречаются, рост прекращается в точках соприкосновения. Существует множество способов описать процесс роста кристаллов. Первый подход заключается в рассмотрении случайных множеств (называемых состояниями кристаллизации), которые соответствуют доле пространства, занимаемого кристаллами в данный момент времени. В этом случае кристаллизация изучается с помощью теории точечных процессов. Другой способ описать рост кристалла - вывести выражение для скорости роста из характерных свойств локальной среды в пространстве состояний. Можно рассмотреть для зародыша $g \in \mathbb{R}^d \times \mathbb{R}^+$ и точки $x \in \mathbb{R}^d$ время $A_g(x)$, при котором x достигается свободным кристаллом, связанным с зародышем g . Затем процесс кристаллизации характеризуется случайным полем ξ , задающим для местоположения $x \in \mathbb{R}^d$ время кристаллизации

$$\xi(x) = \inf_{g \in \mathcal{N}} A_g(x).$$

Далее мы будем изучать процессы кристаллизации через поле ξ . Будем также предполагать, что процесс рождения однороден по координате. Это условие выражается в равенстве для меры интенсивности пуассоновского процесса

$$(1) \quad \Lambda = \lambda^d \times m,$$

где λ^d - мера Лебега на \mathbb{R}^d , а m - мера на \mathbb{R}^+ конечная на ограниченных борелевских множествах. Этот процесс стационарен, и далее мы будем оценивать коэффициент равномерной регулярности этого процесса.

2. ПРЕДПОЛОЖЕНИЯ О ПРОЦЕССАХ РОЖДЕНИЯ И РОСТА

2.1. Процесс рождения. Центры кристаллизации рождаются в соответствии с пуассоновским точечным процессом на $E = \mathbb{R}^d \times \mathbb{R}^+$, обозначаемом \mathcal{N} . То есть центры кристаллизации - это случайные точки $g = (x_g, t_g)$ в $\mathbb{R}^d \times \mathbb{R}^+$, где x_g - местоположение в пространстве \mathbb{R}^d , и t_g это время рождения на временных осях \mathbb{R}^+ . Поскольку мера Лебега инвариантна относительно трансляции \mathbb{R}^d , то \mathcal{N} однороден в пространстве, и достаточно рассмотреть множества вокруг начала координат. Таким образом, для любого времени t мы вводим так называемый причинный конус:

$$K_t = \{g \in E \mid A_g(0) \leq t\},$$

который состоит из всех возможных центров кристаллизации, которые могут захватить источник до истечения времени t . Мера $\Lambda(K_t)$ причинного конуса K_t обозначается за $F(t)$.

2.2. Процесс роста. Мы говорим, что кристалл является свободным кристаллом, если он происходит из центра кристаллизации, родившегося в месте, которое на момент его рождения еще не было занято другими кристаллами. Мы связываем с каждым центром кристаллизации g в E функцию A_g :

$$\begin{aligned} A_g : \mathbb{R}^d &\rightarrow \mathbb{R}^+, \\ x &\mapsto A_g(x), \end{aligned}$$

где $A_g(x)$ это время, когда кристалл, относящийся к центру кристаллизации g и считающийся свободным, достигает точки x . Как следствие, свободный кристалл в момент времени t определяется набором:

$$C_g(t) = \{x \mid A_g(x) \leq t\}.$$

Далее мы сделаем несколько предположений относительно семейства свободных кристаллов $\{C_g, g \in \mathcal{N}\}$ и семейства функций $\{A_g, g \in \mathcal{N}\}$. При необходимости мы также уточним связь между допущениями и ростом кристаллов.

Мы предполагаем, что для любого центра кристаллизации $g = (x_g, t_g)$ и $t > t_g$ выполнено:

$$(2) \quad C_g(t) = x_g \oplus (t - t_g)B,$$

где B это единичный шар в \mathbb{R}^d , и \oplus обозначает суммирование по Минковскому множеств A и B :

$$A \oplus B = \{x + y \mid x \in A, y \in B\}.$$

Легко видеть, что, причинный конус K_t имеет следующую структуру: его горизонтальный участок $K_t(s)$ на уровне s , $0 \leq s \leq t$, представляет собой множество $C(0, ts)$, симметричное множеству $C(0, ts)$. Следовательно

$$F(t) = \Lambda(K_t) = \lambda^d(K) \int_0^t (t - s)^d m(ds).$$

3. АБСОЛЮТНАЯ РЕГУЛЯРНОСТЬ

Для подмножества T из \mathbb{R}^d , мы обозначаем через \mathcal{F}_T σ -алгебру порожденную случайными величинами $\xi(x)$ для всех x в T . Теперь рассмотрим два непересекающихся множества T_1 и T_2 в \mathbb{R}^d и определим коэффициент абсолютной регулярности для σ -алгебр \mathcal{F}_{T_1} и \mathcal{F}_{T_2} как

$$(3) \quad \beta(T_1, T_2) = \|\mathcal{P}_{T_1 \cup T_2} - \mathcal{P}_{T_1} \times \mathcal{P}_{T_2}\|_{var},$$

где $\|\mu\|_{var}$ — норма полной вариации знакопеременной меры μ и \mathcal{P}_T — распределение $\xi|_T$ как элемента $\mathcal{C}(T)$ непрерывных вещественно-значных функций на T . Отметим, что из $T_1 \cap T_2 = \emptyset$, следует $\mathcal{C}(T_1 \cup T_2) = \mathcal{C}(T_1) \times \mathcal{C}(T_2)$.

Коэффициент сильного перемешивания определяется следующим образом

$$(4) \quad \alpha(T_1, T_2) = \sup_{\substack{A \in \mathcal{F}_{T_1} \\ B \in \mathcal{F}_{T_2}}} |\mathbb{P}(A \cap B) - \mathbb{P}(A)\mathbb{P}(B)|.$$

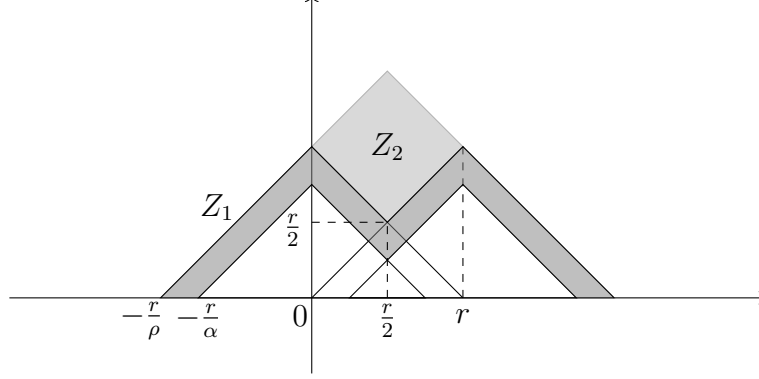


Рис. 1. Область для траекторий $\xi(x)$, при событии из $A \cap B$

Процесс ξ называется абсолютно регулярным (соответственно α -перемешиванием), если коэффициент абсолютной регулярности (соответственно коэффициент сильного перемешивания) стремится к нулю, когда расстояние между T_1 и T_2 стремится к бесконечности, причем T_1 и T_2 принадлежат определенному классу множеств.

Хорошо известно, что

$$(5) \quad \alpha(T_1, T_2) \leq \frac{1}{2}\beta(T_1, T_2).$$

Как следствие, абсолютная регулярность процесса ξ влечет α -перемешивание. В случае $d = 1$, обычно выбирают $T_1 = (-\infty, 0]$ и $T_2 = [r, +\infty)$. При $d \geq 2$ выбор более произволен, и возможные варианты рассматриваются далее и в [1].

4. Нижняя оценка для одномерного случая

В статье [1] для процесса кристаллизации ξ приводится оценка коэффициента сильной регулярности: $\forall \rho \in \mathbb{R}$

$$\left| e^{-2F(\frac{r}{\rho})} - e^{-F(\frac{(1+\rho)}{\rho}r)} \right| \leq \beta(r) \leq 8e^{-F(\frac{r}{2})}.$$

Оказывается, верен следующий результат

Теорема 1. Если $T_1 = (-\infty, 0]$ и $T_2 = [r, +\infty)$ и выполнены условия (1), (2), то

$$(6) \quad \beta(r) \geq 2e^{-F(\frac{r}{2})}.$$

Доказательство. Рассмотрим $A = \{\xi(0) \notin (a, b)\}$; $B = \{\xi(r) \notin (a, b)\}$. Из (4) и (5) верно, что

$$\beta(r) \geq 2\alpha(T_1, T_2) \geq 2|\mathbf{P}(A \cap B) - \mathbf{P}(A)\mathbf{P}(B)|.$$

Так как ξ стационарный мы получаем, что

$$\mathbf{P}(A) = \mathbf{P}(B) = \mathbf{P}\{\xi(0) < a\} + \mathbf{P}\{\xi(r) > b\} = \mathbf{P}\{\xi(0) < a\} + \mathbf{P}\{\xi(0) > b\} = e^{-F(b)} + 1 - e^{-F(a)},$$

$$\mathbf{P}(A)\mathbf{P}(B) = (1 - (e^{-F(a)} - e^{-F(b)}))^2 = 1 - 2(e^{-F(a)} - e^{-F(b)}) + (e^{-F(a)} - e^{-F(b)})^2.$$

Зафиксируем $\rho < \alpha < 2$. Положим $a = \frac{r}{\alpha}$, $b = \frac{r}{\rho}$.

Для вычисления $\mathbf{P}(A \cap B)$, заметим, что искомая вероятность на рис.1, это вероятность

того, что центры кристаллизации не попали в темно-серую область, которую обозначим как Z_1 . Также за Z_2 для удобства обозначим светло-серую область. Тогда по формуле включений исключений:

$$\begin{aligned} \mathbf{P}(\mathcal{N} \cap Z_1 \neq \emptyset) &= \mathbf{P}\left(\xi(0) < \frac{(1+\rho)}{\rho}r\right) - \mathbf{P}(\mathcal{N} \cap Z_2 \neq \emptyset) - 2\mathbf{P}\left(\xi(0) < \frac{r}{\alpha}\right) + \mathbf{P}\left(\xi(0) < \frac{r}{\alpha} - \frac{r}{2}\right) = \\ &= 1 - e^{-F(\frac{(1+\rho)}{\rho}r)} - 2(1 - e^{-F(\frac{r}{\alpha})}) + 1 - e^{-F(\frac{r}{\alpha} - \frac{r}{2})} - \mathbf{P}(\mathcal{N} \cap Z_2 \neq \emptyset). \end{aligned}$$

Вероятность $\mathbf{P}(\mathcal{N} \cap Z_2 \neq \emptyset)$ посчитаем аналогично по формуле включений-исключений:

$$\begin{aligned} \mathbf{P}(\mathcal{N} \cap Z_2 \neq \emptyset) &= \mathbf{P}\left(\xi(0) < \frac{(1+\rho)}{\rho}r\right) - 2\mathbf{P}\left(\xi(0) < \frac{r}{\rho}\right) + \mathbf{P}\left(\xi(0) < \frac{r}{2}\right) = \\ &= 1 - e^{-F(\frac{(1+\rho)}{\rho}r)} - 2(1 - e^{-F(\frac{r}{\rho})}) + 1 - e^{-F(\frac{r}{2})}. \end{aligned}$$

Суммируя, получаем:

$$\mathbf{P}(\mathcal{N} \cap Z_1 \neq \emptyset) = 2e^{-F(\frac{r}{\alpha})} - e^{-F(\frac{r}{\alpha} - \frac{r}{2})} - 2e^{F(\frac{r}{\rho})} + e^{-F(\frac{r}{2})},$$

$$\mathbf{P}(A \cap B) = \mathbf{P}(\mathcal{N} \cap Z_1 = \emptyset) = 1 - \mathbf{P}(\mathcal{N} \cap Z_1 \neq \emptyset) = 1 - 2e^{-F(\frac{r}{\alpha})} + e^{-F(\frac{r}{\alpha} - \frac{r}{2})} + 2e^{F(\frac{r}{\rho})} - e^{-F(\frac{r}{2})}.$$

Теперь соберем все и оценим $\beta(r)$:

$$\begin{aligned} \beta(r) &\geq 2|\mathbf{P}(A \cap B) - \mathbf{P}(A)\mathbf{P}(B)| = \\ &= 2|2e^{-F(\frac{r}{\alpha})} - e^{-F(\frac{r}{\alpha} - \frac{r}{2})} - 2e^{F(\frac{r}{\rho})} + e^{-F(\frac{r}{2})} - 2\left(e^{-F(\frac{r}{\alpha})} - e^{-F(\frac{r}{\rho})}\right) + \left(e^{-F(\frac{r}{\alpha})} - e^{-F(\frac{r}{\rho})}\right)^2|. \end{aligned}$$

Так как мы выбрали α и ρ произвольно, то устремим α к ρ и получим:

$$\beta(r) \geq 2|e^{-F(\frac{r}{2})} - e^{-F(\frac{r}{\rho} - \frac{r}{2})}|.$$

Теперь устремим ρ к 0. Тогда $F(\frac{r}{\rho} - \frac{r}{2}) \rightarrow \infty$ и $e^{-F(\frac{r}{\rho} - \frac{r}{2})} \rightarrow 0$, и мы получим оценку (6) из условия теоремы. \square

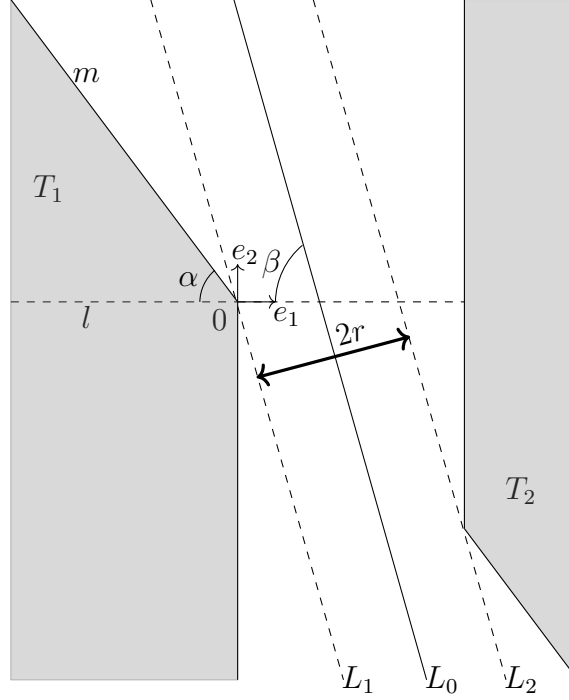
5. ВЕРХНИЕ ОЦЕНКИ ДЛЯ ПЛОСКОГО СЛУЧАЯ

Рассмотрим многомерный случай с $d = 2$. Введем обозначения $e_1 = (0, 1)$, $e_2 = (1, 0)$. Возьмём $T_1 = \{e \in \mathbf{R}^2 | \angle(e, -e_2) < \alpha + \frac{\pi}{2}\}$. Обозначим, за l прямую, задаваемую направлением вектора e_1 и за t луч, который образует граница T_1 в положительной полуплоскости. Определим разделяющую гиперповерхность L_1 , как прямую, проходящую через 0 и пересекающую l под углом $\beta > \alpha$. Симметрично введем L_2 . Тогда расстояние $dist(L_1, L_2) = 2r$. L_0 выберем, как прямую, параллельную L_1 и $dist(L_1, L_0) = r$. Возьмём T_2 – симметрично T_1 , относительно L_0 . Также, за E_1 и E_2 обозначим полупространства определяемые L_0 и содержащие T_1 и T_2 соответственно. Все обозначения иллюстрированы на рис.2.

Отметим, что для случая $\alpha = 0, \beta = \frac{\pi}{4}$ в работе [1] получена следующая верхняя оценка на коэффициент абсолютной регулярности для произвольной размерности $d \geq 2$:

$$(7) \quad \beta(T_1, T_2) \leq 8 \sum_{k=1}^{\infty} k^{d-1} e^{-F(\frac{2rk}{9d})}.$$

Оказывается, верен более общий результат:

Рис. 2. Области T_1 и T_2

Теорема 2. Пусть $T_1 = \{e \in \mathbf{R}^2 | \angle(e, -e_2) < \alpha + \frac{\pi}{2}\}$ и T_2 – симметрично отраженная T_1 , относительно L_0 , область. Если $\alpha < \frac{\pi}{4} \leq \beta$ и $\operatorname{tg} \beta = \frac{a}{b} > 1$, где $a, b \in \mathbb{N}$ и $\frac{a}{b} > \operatorname{tg} \alpha$ то, верна оценка:

$$(8) \quad \beta(T_1, T_2) \leq 8 \sum_{k=0}^{\infty} \left(3 + \frac{k}{2a} + \frac{(1 + \operatorname{tg} \alpha - \frac{k}{b})^+}{2(\frac{a}{b} - \operatorname{tg} \alpha)} + \frac{1 + \operatorname{tg} \alpha + \frac{k}{b}}{2(\frac{a}{b} - \operatorname{tg} \alpha)} \right) e^{-F(C(k+1))},$$

$$\text{где } C = \frac{r}{9\sqrt{2(a^2+b^2)}}$$

Также, нам удалось рассмотреть случай $\alpha > \frac{\pi}{4}$, если дополнительно предположить $\operatorname{tg} \alpha \in \mathbb{Q}$.

Теорема 3. Пусть $T_1 = \{e \in \mathbf{R}^2 | \angle(e, -e_2) < \alpha + \frac{\pi}{2}\}$ и T_2 – симметрично отраженная T_1 , относительно L_0 , область. Если $\alpha < \beta$ и $\operatorname{tg} \beta = \frac{a}{b}$, $\operatorname{tg} \alpha = \frac{c}{d}$, где $a, b, c, d \in \mathbb{N}$ и $\frac{a}{b} > \frac{c}{d}$ то, верна оценка:

$$(9) \quad \beta(T_1, T_2) \leq 8 \sum_{k=1}^{\infty} k e^{-F(Ck)},$$

$$\text{где } C = \frac{r}{9\sqrt{(2+2\sin \alpha)(a^2+b^2)(c^2+d^2)}}.$$

Применим теоремы 2 и 3 к случаю $\alpha = 0, \beta = \frac{\pi}{4}$. Мы ожидаем получить, что-то похожее на оценку (7).

Во первых $tg\beta = \frac{1}{1}$, следовательно $a = b = 1$. Тогда применив теорему 2 и 3 получим

$$\beta(T_1, T_2) \leq 8 \sum_{k=0}^{\infty} \left(3 + \frac{k}{2} + \frac{(1-k)^+}{2} + \frac{1+k}{2} \right) e^{-F(\frac{r(k+1)}{18})} \leq 8 \sum_{k=0}^{\infty} (k+4) e^{-F(\frac{r(k+1)}{18})},$$

$$\beta(T_1, T_2) \leq 8 \sum_{k=0}^{\infty} (k+1) e^{-F(\frac{r(k+1)}{18\sqrt{2}})},$$

Прежде чем доказывать теорему, мы приведём оценку, для двух типичных случаев, которые представляют практический интерес [1].

Пример 1: Если $F(t) \geq (d + \delta)lnt - \ln\gamma$, где $\delta, \gamma > 0$, мы получаем $e^{F(t)} \leq \gamma t^{-(2+\delta)}$ и сумма (8) оценится как

$$\begin{aligned} & \sum_{k=0}^{\infty} \left(3 + \frac{k}{2a} + \frac{(1+tg\alpha - \frac{k}{b})^+}{2(\frac{a}{b} - tg\alpha)} + \frac{1+tg\alpha + \frac{k}{b}}{2(\frac{a}{b} - tg\alpha)} \right) e^{-F(C(k+1))} \leq \\ & \leq \sum_{k=0}^{\infty} 3(k+1) e^{-F(C(k+1))} \leq \sum_{k=0}^{\infty} 3\gamma C^{(2+\delta)} (k+1)^{-(1+\delta)} = \gamma' C^{-(2+\delta)}, \end{aligned}$$

где

$$\gamma' = 3\gamma \sum_{m=1}^{\infty} m^{-(1+\delta)}.$$

Сумма (9) оценится, как

$$\sum_{k=1}^{\infty} k e^{-F(Ck)} \leq \gamma' C^{-(2+\delta)},$$

где

$$\gamma' = \gamma \sum_{m=1}^{\infty} m^{-(1+\delta)}.$$

Пример 2: Если $F(t) \geq \gamma t^\delta - c$, где $\delta, \gamma, c > 0$, то $e^{F(t)} \leq c_1 e^{-\gamma t^\delta}$, где $c_1 = e^c$. Сумма (8) оценится, как

$$\sum_{k=0}^{\infty} \left(3 + \frac{k}{2a} + \frac{(1+tg\alpha - \frac{k}{b})^+}{2(\frac{a}{b} - tg\alpha)} + \frac{1+tg\alpha + \frac{k}{b}}{2(\frac{a}{b} - tg\alpha)} \right) e^{-F(C(k+1))} \leq c_2 e^{-\gamma C^\delta}$$

где

$$c_2 = \sum_{k=0}^{\infty} 3(k+1) c_1 e^{-\gamma C^\delta ((k+1)^\delta - 1)}.$$

Для (9) имеем

$$\sum_{k=1}^{\infty} k e^{-F(Ck)} \leq c_2 e^{\gamma C^\delta},$$

где

$$c_2 = c_1 \sum_{k=1}^{\infty} k e^{\gamma C^\delta (k^\delta - 1)}.$$

Для доказательства теорем нам понадобятся леммы, доказанные в [1]. Введем обозначения:

$$(10) \quad \eta_r^1(x) = \inf_{\substack{g \in \mathcal{N} \\ x_g \in E_1}} A_g(x),$$

$$(11) \quad \eta_r^2(x) = \inf_{\substack{g \in \mathcal{N} \\ x_g \in E_2}} A_g(x),$$

$$(12) \quad \xi_R(x) = \inf_{\substack{g \in \mathcal{N} \\ |x_g| \leq R}} A_g(x).$$

Лемма 1. При $d = 2$, для всех $r > 0$ выполнено,

$$\mathbb{P}(\xi(x) = \xi_{3r}(x), |x| \leq r) \geq 1 - e^{-F(r)},$$

где ξ_{3R} определено в (12).

Лемма 2. Пусть $(\eta(x))_{x \in \mathbb{R}^d}$ – случайное поле и T_1, T_2 два дизъюнктивных подмножества \mathbb{R}^d . Если существуют случайные поля $(\eta_1(x))_{x \in \mathbb{R}^d}$ и $(\eta_2(x))_{x \in \mathbb{R}^d}$ и $\delta_1, \delta_2 \in \mathbb{R}$ такие что:

- η_1 и η_2 независимы
- $\mathbb{P}\{\xi(x) = \eta_i(x), \forall x \in T_i\} \geq 1 - \delta_i$ для $i = 1, 2$.

Тогда

$$\beta(T_1, T_2) \leq 8(\delta_1 + \delta_2).$$

6. ДОКАЗАТЕЛЬСТВО ТЕОРЕМЫ 2

Чтобы получить верхнюю оценку для коэффициента абсолютной регулярности $\beta(T_1, T_2)$, мы аппроксимируем ограничения ξ на T_1 и T_2 двумя независимыми случайными полями и применяем лемму 2.

Лемма 3. В предположениях Теоремы 2, для всех $r > 0$,

$$\mathbb{P}\{\xi(x) = \eta_r^1(x), x \in T_1\} \geq 1 - \sum_{m=0}^{\infty} \left(3 + \frac{m}{2a} + \frac{(1 + tg\alpha - \frac{m}{b})^+}{2(\frac{a}{b} - tg\alpha)} + \frac{1 + tg\alpha + \frac{m}{b}}{2(\frac{a}{b} - tg\alpha)} \right) e^{-F(C(m+1))},$$

с η_r^1 определенным в (10), $C = \frac{r}{9\sqrt{2(a^2+b^2)}}$.

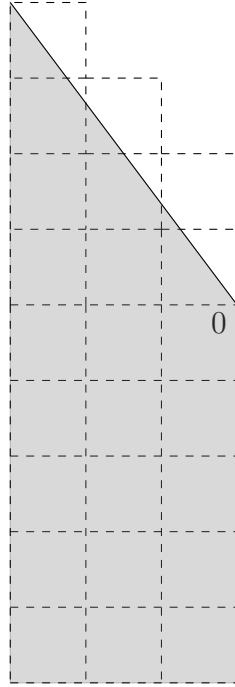
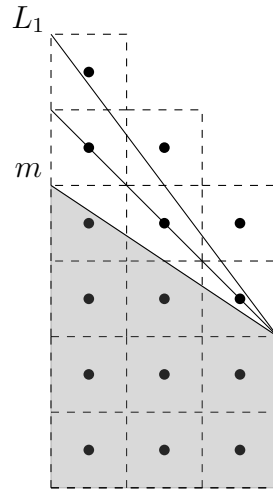
Доказательство. Введем обозначение $G = \frac{r}{3}$. Покроем T_1 квадратами

$$A_{\bar{k}} = \left[\sqrt{2}G(k_1 - 1)_i, \sqrt{2}Gk_1 \right] \times \left[\sqrt{2}G(k_2 - 1); \sqrt{2}Gk_2 \right],$$

где $\bar{k} = (k_1, k_2) \in \mathbb{M} = (-\mathbb{N})^2 \cup \{(-\mathbb{N}) \times \mathbb{N} \mid \frac{|k_2-1|}{|k_1-1|} < tg\alpha\}$. В покрытие мы берем такие квадраты, что их левый нижний угол лежит в T_1 (рис.3).

Теперь преобразуем покрытие $A_{\bar{k}}$ в покрытие $C_{\bar{k}}$:

$$C_{\bar{k}} = \begin{cases} A_{\bar{k}}; A_{\bar{k}} \subset T_1 \\ A_{\bar{k}} \cap T_1; \text{ иначе} \end{cases}$$

Рис. 3. Покрытие T_1 квадратамиРис. 4. Центры $A_{\bar{k}}$

Из построения следует, что $T_1 = \bigcup_{\bar{k}} C_{\bar{k}}$ и $C_{\bar{k}} \subset A_{\bar{k}}$.

Центр каждого квадрата $A_{\bar{k}}$ находится в точке $x_{\bar{k}} = (\frac{G}{\sqrt{2}}(2k_i - 1))_{i=1,2}$, а диаметр равен $2G$. Из условия $\alpha < \frac{\pi}{4} \leq \beta$ следует, что все $x_{\bar{k}}$ лежат под прямой L_1 (рис.4).

Обозначим за p вероятность $\mathbb{P}(\xi(x) = \eta_r(x), x \in T_1)$ и заметим, что

$$(13) \quad p = \mathbb{P}\left(\bigcap_{\bar{k} \in \mathbb{M}} B_{\bar{k}}\right),$$

где

$$B_{\bar{k}} = \{(\xi(x) = \eta_r(x), x \in C_{\bar{k}})\}.$$

Обозначим за $B(x, t)$ шар в \mathbb{R}^2 с центром в $x \in \mathbb{R}^2$ и радиусом $t > 0$. Из леммы 1, мы получаем, что для $t > 0$ что

$$\mathbb{P}(\xi(x) = \xi_{B(x_{\bar{k}}, 3t)}(x), |x - x_{\bar{k}}| \leq t) \geq 1 - e^{-F(t)},$$

где

$$\xi_{B(x_{\bar{k}}, 3a)}(x) = \inf_{\substack{g \in \mathcal{N} \\ |x_g - x_{\bar{k}}| \leq 3a}} A_g(x).$$

Положим $\rho = G + \frac{s_{\bar{k}}}{3}$, где $s_{\bar{k}}$ расстояние между $x_{\bar{k}}$ и прямой L_1 равное

$$\begin{aligned} s_{\bar{k}} = | \langle x_{\bar{k}}, e \rangle | &= \frac{G}{\sqrt{2}} | \langle (2k_1 - 1, 2k_2 - 1), (\frac{a}{\sqrt{a^2 + b^2}}, \frac{b}{\sqrt{a^2 + b^2}}) \rangle | = \\ &= \frac{G}{\sqrt{2a^2 + 2b^2}} |a(2k_1 - 1) + b(2k_2 - 1)|, \end{aligned}$$

где $e = (\frac{a}{\sqrt{a^2 + b^2}}, \frac{b}{\sqrt{a^2 + b^2}})$ – единичная нормаль к L_1 .

Рассмотрим включения, $C_{\bar{k}} \subset A_{\bar{k}} \subset B(x_{\bar{k}}, \rho)$. Отсюда следует, что

$$\begin{aligned} \{\xi(x) = \xi_{B(x_{\bar{k}}, 3\rho)}(x), |x - x_{\bar{k}}| \leq \rho\} &\subset \{\xi(x) = \xi_{B(x_{\bar{k}}, 3\rho)}(x), x \in A_{\bar{k}}\} \subset \\ &\subset \{\xi(x) = \xi_{B(x_{\bar{k}}, 3\rho)}(x), x \in C_{\bar{k}}\}. \end{aligned}$$

Более того, $B(x_{\bar{k}}, 3\rho)$ содержится в полупространстве E_1 . Следовательно,

$$\{\xi(x) = \xi_{B(x_{\bar{k}}, 3\rho)}(x), x \in C_{\bar{k}}\} \subset \{\xi(x) = \eta_r^1(x), x \in C_{\bar{k}}\}.$$

Обозначив за $p_{\bar{k}}$ вероятность $\mathbb{P}(B_{\bar{k}})$, мы в итоге получаем

$$(14) \quad p_{\bar{k}} \geq 1 - e^{-F\left(G + \frac{s_{\bar{k}}}{3}\right)}.$$

С другой стороны, из (13) следует что

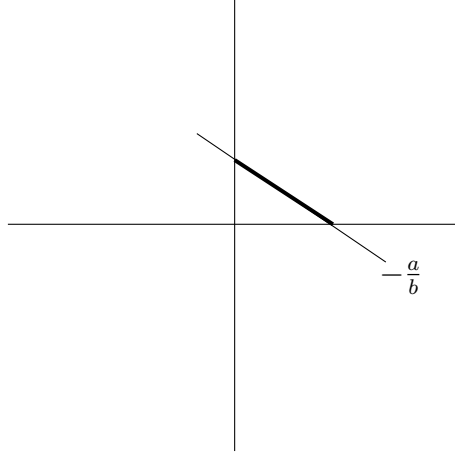
$$p = 1 - \mathbb{P}\left(\bigcup_{\bar{k} \in \mathbb{M}} B_{\bar{k}}^c\right).$$

Из (14), мы заключаем

$$(15) \quad p \geq 1 - \sum_{\bar{k} \in \mathbb{M}} e^{-F\left(G + \frac{s_{\bar{k}}}{3}\right)}.$$

Теперь мы будем оценивать сумму из (13) сверху:

$$\begin{aligned} \sum_{\bar{k} \in \mathbb{M}} e^{-F\left(G + \frac{s_{\bar{k}}}{3}\right)} &= \\ &= \sum_{m=0}^{\infty} \#\{\bar{k} \in \mathbb{M}, |a(2k_1 - 1) + b(2k_2 - 1)| = m\} e^{-F\left(G + \frac{1}{3\sqrt{2a^2 + 2b^2}}m\right)}. \end{aligned}$$

Рис. 5. Прямая $aX + bY = m$

Отдельно оценим коэффициент при экспоненте:

$$\begin{aligned} \#\{\bar{k} \in \mathbb{M}, |a(2k_1-1)+b(2k_2-1)| = m\} &= \#\{\bar{k} \in \mathbb{M}, k_1 \leq 0, k_2 \leq 0, |a(2k_1-1)+b(2k_2-1)| = m\} + \\ &+ \#\{\bar{k} \in \mathbb{M}, k_1 \leq 0, k_2 > 0, |a(2k_1-1)+b(2k_2-1)| = m\} = \\ &= \#\{\bar{k} \in \mathbb{M}, k_1 \leq 0, k_2 \leq 0, |a(2k_1-1)+b(2k_2-1)| = m\} + \\ &+ \#\{\bar{k} \in \mathbb{M}, k_1 \leq 0, k_2 > 0, a(2k_1-1)+b(2k_2-1) = m\} + \\ &+ \#\{\bar{k} \in \mathbb{M}, k_1 \leq 0, k_2 > 0, a(2k_1-1)+b(2k_2-1) = -m\}, \end{aligned}$$

Оценим первое слагаемое:

$$\#\{\bar{k} \in \mathbb{M}, k_1 \leq 0, k_2 \leq 0, |a(2k_1-1)+b(2k_2-1)| = m\}.$$

Введем обозначения $X = 1 - 2k_1, Y = 1 - 2k_2$. Тогда из условия $k_1 \leq 0, k_2 \leq 0$ следует $X \geq 0, Y \geq 0$, и уравнение переписывается в виде $aX + bY = m$. Это уравнение и ограничения $a, b, m \geq 0$ задает прямую с отрицательным коэффициентом наклона (рис.5). Заметим, что $a, b, X, Y \in \mathbb{Z}$ и решения исходной системы $a(2k_1-1) + b(2k_2-1) = m, k_1 \leq 0, k_2 \leq 0$, — это целые точки на этой прямой, лежащие в первой четверти, соответствующей $X, Y \geq 0$. Оценим их число:

$$\begin{aligned} Y &= -\frac{a}{b}X + \frac{m}{b} \geq 0, \\ X &\leq \frac{m}{a}, \\ 1 - 2k_1 &\leq \frac{m}{a}, \\ -k_1 &\leq \frac{m}{2a} - \frac{1}{2} \leq \frac{m}{2a}. \end{aligned}$$

Тогда

$$(16) \quad \#\{\bar{k} \in \mathbb{M}, k_1 \leq 0, k_2 \leq 0, |a(2k_1-1)+b(2k_2-1)| = m\} \leq \frac{m}{2a} + 1.$$

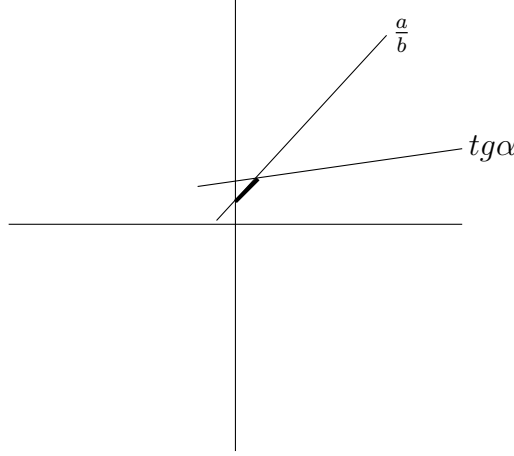


Рис. 6. $bY - aX = m$ и $Y = tg\alpha X + (tg\alpha + 1)$

Оценим второе слагаемое:

$$\#\{\bar{k} \in \mathbb{M}, k_1 \leq 0, k_2 > 0, a(2k_1 - 1) + b(2k_2 - 1) = m\}.$$

Снова определим $X = 1 - 2k_1, Y = 2k_2 - 1$. Из ограничений опять следует, что $X, Y \geq 0$, и уравнение переписывается, как $bY - aX = m$. В отличие от прошлого случая, эта прямая имеет положительный коэффициент наклона. Однако, у нас есть условие $\frac{|k_2 - 1|}{|k_1 - 1|} < tg\alpha$, которое накладывает линейные условия на X и Y :

$$|k_2 - 1| < tg\alpha |k_1 - 1|,$$

$$|2k_2 - 2| < tg\alpha |2k_1 - 2|,$$

$$|2k_2 - 1| - 1 < tg\alpha |2k_1 - 1| + tg\alpha,$$

$$Y < tg\alpha X + (tg\alpha + 1).$$

Эти условия задают полуплоскость с границей $Y = tg\alpha X + (tg\alpha + 1)$. Так как $tg\alpha < \frac{a}{b}$, то эта прямая пересечет $bY - aX = m$, и решения системы задаются отрезком, лежащим ниже прямой с углом наклона α и осью абсцисс (рис.6).

Тогда с одной стороны,

$$0 \leq Y < tg\alpha X + (tg\alpha + 1).$$

С другой

$$Y = \frac{a}{b}X + \frac{m}{b}.$$

И значит, имеем

$$0 \leq \frac{a}{b}X + \frac{m}{b} < tg\alpha X + (tg\alpha + 1),$$

$$\left(\frac{a}{b} - tg\alpha\right) X < \left(1 + tg\alpha - \frac{m}{b}\right)^+,$$

$$X < \frac{\left(1 + tg\alpha - \frac{m}{b}\right)^+}{\left(\frac{a}{b} - tg\alpha\right)},$$

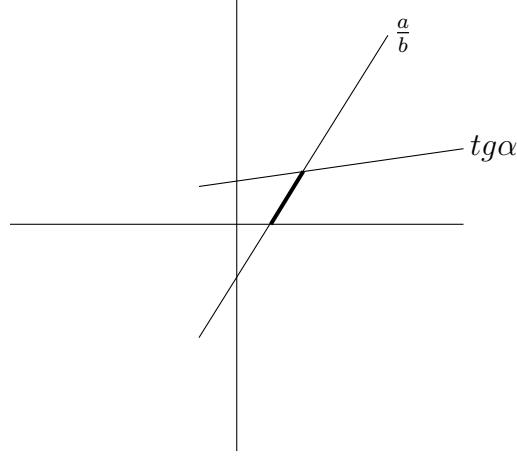


Рис. 7. $aX - bY = m$ и $Y = tg\alpha X + (tg\alpha + 1)$

$$1 - 2k_1 < \frac{(1 + tg\alpha - \frac{m}{b})^+}{(\frac{a}{b} - tg\alpha)},$$

$$-k_1 < \frac{(1 + tg\alpha - \frac{m}{b})^+}{2(\frac{a}{b} - tg\alpha)}.$$

Заключаем

$$(17) \quad \#\{\bar{k} \in \mathbb{M}, k_1 \leq 0, k_2 > 0, a(2k_1 - 1) + b(2k_2 - 1) = m\} \leq \frac{(1 + tg\alpha - \frac{m}{b})^+}{2(\frac{a}{b} - tg\alpha)} + 1.$$

Осталось оценить последнее слагаемое:

$$\#\{\bar{k} \in \mathbb{M}, k_1 \leq 0, k_2 > 0, a(2k_1 - 1) + b(2k_2 - 1) = -m\}.$$

Опять $X = 1 - 2k_1 \geq 0, Y = 2k_2 - 1 \geq 0$. Уравнение прямой принимает вид $aX - bY = m$. Проведем аналогичное прошлому случаю вычисление:

$$0 \leq Y = \frac{a}{b}X - \frac{m}{b} < tg\alpha X + (tg\alpha + 1),$$

$$\left(\frac{a}{b} - tg\alpha\right) X < 1 + tg\alpha + \frac{m}{b},$$

$$X < \frac{1 + tg\alpha + \frac{m}{b}}{(\frac{a}{b} - tg\alpha)},$$

$$1 - 2k_1 < \frac{1 + tg\alpha + \frac{m}{b}}{(\frac{a}{b} - tg\alpha)},$$

$$-k_1 < \frac{1 + tg\alpha + \frac{m}{b}}{2(\frac{a}{b} - tg\alpha)}.$$

Значит,

$$(18) \quad \#\{\bar{k} \in \mathbb{M}, k_1 \leq 0, k_2 > 0, a(2k_1 - 1) + b(2k_2 - 1) = -m\} \leq \frac{1 + tg\alpha + \frac{m}{b}}{2(\frac{a}{b} - tg\alpha)} + 1.$$

Итого, из (16), (17), (18) заключаем

$$\#\{\bar{k} \in \mathbb{M}, |a(2k_1 - 1) + b(2k_2 - 1)| = m\} \leq 3 + \frac{m}{2a} + \frac{(1 + tg\alpha - \frac{m}{b})^+}{2(\frac{a}{b} - tg\alpha)} + \frac{1 + tg\alpha + \frac{m}{b}}{2(\frac{a}{b} - tg\alpha)}.$$

Теперь оценим $e^{-F\left(G\left(1+\frac{1}{3\sqrt{2a^2+2b^2}}m\right)\right)}$. Положим $C = \frac{G}{3\sqrt{a^2+b^2}}$. Тогда $G\left(1+\frac{1}{3\sqrt{2a^2+2b^2}}m\right) \geq C(m+1)$, и в силу того, что $F(t)$ – возрастающая функция, получаем оценку

$$e^{-F\left(G\left(1+\frac{1}{3\sqrt{2a^2+2b^2}}m\right)\right)} \leq e^{-F(C(m+1))}.$$

Отсюда следует оценка из леммы. □

Из однородности процесса кристаллизации и из Леммы 3 следует утверждение

Лемма 4. В предположениях теоремы 2, для всех $r > 0$,

$$\mathbb{P}\{\xi(x) = \eta_r^2(x), x \in T_2\} \geq 1 - \sum_{m=0}^{\infty} \left(\frac{m}{2a} + \frac{(1 + tg\alpha - \frac{m}{b})^+}{2(\frac{a}{b} - tg\alpha)} + \frac{1 + tg\alpha + \frac{m}{b}}{2(\frac{a}{b} - tg\alpha)} \right) e^{-F(C(m+1))}.$$

с η_r^2 определенным в (11), $C = \frac{r}{9\sqrt{2(a^2+b^2)}}$.

Теперь мы готовы доказать теорему 2.

Доказательство. (Теоремы 2) С помощью Леммы 3 и Леммы 4 мы можем воспользоваться леммой 2. Положим $\eta_1 = \eta_1^r, \eta_2 = \eta_2^r$,

$$\delta_1 = \delta_2 = 1 - \sum_{m=0}^{\infty} \left(\frac{m}{2a} + \frac{(1 + tg\alpha - \frac{m}{b})^+}{2(\frac{a}{b} - tg\alpha)} + \frac{1 + tg\alpha + \frac{m}{b}}{2(\frac{a}{b} - tg\alpha)} \right) e^{-F(C(m+1))},$$

и T_1, T_2 как в утверждении теоремы. Тогда мы получаем, что

$$\beta(T_1, T_2) \leq 4(\delta_1 + \delta_2) \leq 8 \sum_{k=0}^{\infty} \left(\frac{k}{2a} + \frac{(1 + tg\alpha - \frac{k}{b})^+}{2(\frac{a}{b} - tg\alpha)} + \frac{1 + tg\alpha + \frac{k}{b}}{2(\frac{a}{b} - tg\alpha)} \right) e^{-F(C(k+1))}.$$

□

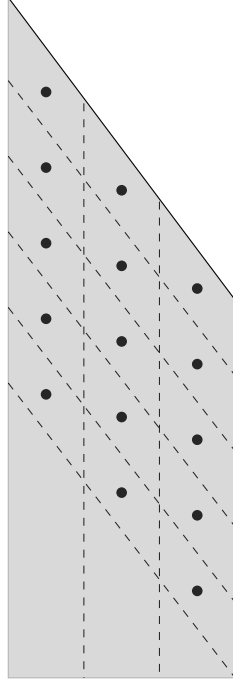
7. ДОКАЗАТЕЛЬСТВО ТЕОРЕМЫ 3

Как и в доказательстве теоремы 2 докажем следующую лемму

Лемма 5. В предположениях Теоремы 3, для всех $r > 0$,

$$\mathbb{P}\{\xi(x) = \eta_r^1(x), x \in T_1\} \geq 1 - \sum_{k=1}^{\infty} k e^{-F(Ck)},$$

с η_r^1 определенным в (10), $C = \frac{r}{9\sqrt{(2+2\sin\alpha)(a^2+b^2)(c^2+d^2)}}$.

Рис. 8. Покрывтие T_1 параллелепипедами

Доказательство. Вновь обозначим $G = \frac{r}{3}$. Теперь покроем T_1 параллелепипедами. Обозначим за $P(x, y, \gamma)$ – параллелепипед с левой верхней вершиной в точке x , с левой нижней вершиной в точке y и углом γ между сторонами. Теперь возьмем следующее покрытие

$$A_{\bar{k}} = \frac{2G}{\sqrt{2 + 2\sin\alpha}} P\left(\left(-\frac{dk_1}{\sqrt{d^2 + c^2}}, \frac{ck_1 - k_2}{\sqrt{d^2 + c^2}}\right), \left(\frac{-d(k_1 - 1)}{\sqrt{d^2 + c^2}}, \frac{c(k_1 - 1) - k_2 + 1}{\sqrt{d^2 + c^2}}\right), \alpha + \frac{\pi}{2}\right),$$

где $\bar{k} = (k_1, k_2) \in (\mathbb{N} \setminus \{0\}) \times \mathbb{N}$. (рис.8).

Центр каждого параллелепипеда $A_{\bar{k}}$ находится в точке

$$x_{\bar{k}} = \frac{2G}{\sqrt{2 + 2\sin\alpha}} \left(\frac{-d}{2\sqrt{c^2 + d^2}}(2k_1 - 1), \frac{c}{2\sqrt{c^2 + d^2}}(2k_1 - 1) - \left(\frac{2k_2 - 1}{2\sqrt{c^2 + d^2}} \right) \right),$$

а диаметр равен $2G$. Как в доказательстве теоремы 2 обозначим за p вероятность $\mathbb{P}(\xi(x) = \eta_r(x), x \in T_1)$ и заметим, что

$$(19) \quad p = \mathbb{P}\left(\bigcap_{\bar{k} \in (\mathbb{N} \setminus \{0\}) \times \mathbb{N}} B_{\bar{k}}\right),$$

где

$$B_{\bar{k}} = \{(\xi(x) = \eta_r(x), x \in C_{\bar{k}})\}.$$

Обозначим за $B(x, t)$ шар в \mathbb{R}^2 с центром в $x \in \mathbb{R}^2$ и радиусом $t > 0$. Из леммы 1, мы получаем, что для $t > 0$ что

$$\mathbb{P}(\xi(x) = \xi_{B(x_{\bar{k}}, 3t)}(x), |x - x_{\bar{k}}| \leq t) \geq 1 - e^{-F(t)},$$

где

$$\xi_{B(x_{\bar{k}}, 3a)}(x) = \inf_{\substack{g \in \mathcal{N} \\ |x_g - x_{\bar{k}}| \leq 3a}} A_g(x).$$

Положим $\rho = G + \frac{s_{\bar{k}}}{3}$, где $s_{\bar{k}}$ расстояние между $x_{\bar{k}}$ и прямой L_1 равное

$$\begin{aligned} s_{\bar{k}} &= | \langle x_{\bar{k}}, e \rangle | = \\ &= \frac{G}{\sqrt{(2+2\sin\alpha)(a^2+b^2)(c^2+d^2)}} | \langle -d(2k_1-1), c(2k_1-1)-(2k_2-1) \rangle, (a, b) \rangle | = \\ &= \frac{G}{\sqrt{(2+2\sin\alpha)(a^2+b^2)(c^2+d^2)}} | -ad(2k_1-1) + bc(2k_1-1) - b(2k_2-1) | = \\ &= \frac{G}{\sqrt{(2+2\sin\alpha)(a^2+b^2)(c^2+d^2)}} | (bc-ad)(2k_1-1) - b(2k_2-1) | = \\ &= \frac{G}{\sqrt{(2+2\sin\alpha)(a^2+b^2)(c^2+d^2)}} ((ad-bc)(2k_1-1) + b(2k_2-1)), \end{aligned}$$

где $e = (\frac{a}{\sqrt{a^2+b^2}}, \frac{b}{\sqrt{a^2+b^2}})$ – единичная нормаль к L_1 и $ad-bc > 0$ из условия теоремы 3.

Рассмотрим включения, $A_{\bar{k}} \subset B(x_{\bar{k}}, \rho)$. Отсюда следует, что

$$\{\xi(x) = \xi_{B(x_{\bar{k}}, 3\rho)}(x), |x - x_{\bar{k}}| \leq \rho\} \subset \{\xi(x) = \xi_{B(x_{\bar{k}}, 3\rho)}(x), x \in A_{\bar{k}}\}.$$

Более того, $B(x_{\bar{k}}, 3\rho)$ содержится в полупространстве E_1 следовательно,

$$\{\xi(x) = \xi_{B(x_{\bar{k}}, 3\rho)}(x), x \in C_{\bar{k}}\} \subset \{\xi(x) = \eta_r^1(x), x \in C_{\bar{k}}\}.$$

Обозначив за $p_{\bar{k}}$ вероятность $\mathbb{P}(B_{\bar{k}})$, мы в итоге получаем

$$(20) \quad p_k \geq 1 - e^{-F(G + \frac{s_{\bar{k}}}{3})}.$$

С другой стороны, из (19) следует, что

$$p = 1 - \mathbb{P}\left(\bigcup_{\bar{k} \in \mathbb{N} \setminus \{0\}} B_{\bar{k}}^c\right).$$

Из (20), мы заключаем

$$(21) \quad p \geq 1 - \sum_{\bar{k} \in \mathbb{N} \setminus \{0\}} e^{-F(G + \frac{s_{\bar{k}}}{3})}.$$

Теперь мы будем оценивать сумму из (21) сверху:

$$\begin{aligned} &\sum_{\bar{k} \in \mathbb{N} \setminus \{0\}} e^{-F(G + \frac{s_{\bar{k}}}{3})} \\ &= \sum_{m=0}^{\infty} \#\{\bar{k} \in \mathbb{N} \setminus \{0\} \mid (ad-bc)(2k_1-1) + b(2k_2-1) = m\} e^{-F(G + \frac{s_{\bar{k}}}{3})} \leq \\ &\leq \sum_{k=0}^{\infty} (m+1) e^{-F(G + Ck)} \leq \sum_{k=0}^{\infty} (m+1) e^{-F(C(m+1))}, \end{aligned}$$

где $C = \frac{G}{3\sqrt{(2+2\sin\alpha)(a^2+b^2)(c^2+d^2)}}$. Отсюда следует утверждение леммы. \square

Так же как и в Теореме 2 из однородности процесса кристаллизации и из предыдущей леммы следует утверждение

Лемма 6. В предположениях теоремы 2, для всех $r > 0$,

$$\mathbb{P}\{\xi(x) = \eta_r^2(x), x \in T_2\} \geq 1 - \sum_{k=0}^{\infty} (m+1)e^{-F(C(m+1))}$$

с η_r^2 определенным в (11), $C = \frac{r}{9\sqrt{(2+2\sin\alpha)(a^2+b^2)(c^2+d^2)}}$.

Теперь мы готовы доказать теорему 3.

Доказательство. (Теоремы 3) Снова положим $\eta_1 = \eta_1^r, \eta_2 = \eta_2^r$,

$$\delta_1 = \delta_2 = 1 - \sum_{k=0}^{\infty} (m+1)e^{-F(C(m+1))}$$

и T_1, T_2 как в утверждении теоремы. Тогда из лемм 1, 5, 6 получаем что

$$\beta(T_1, T_2) \leq 4(\delta_1 + \delta_2) \leq 8 \sum_{k=0}^{\infty} (m+1)e^{-F(C(m+1))}.$$

□

СПИСОК ЛИТЕРАТУРЫ

- [1] Yu. Davydov, A. Illig, *Ergodic properties of crystallization processes*, Journal of Mathematical Sciences (2009), 163(4):375-381.
- [2] A. N. Kolmogorov, Statistical theory of crystallization of metals, Bull. Acad. Sci. USSR Mat. Ser. 1 (1937) pp. 355-359.